

polyvinyl alcohol (PVA)



جمهورية العراق  
وزارة التعليم العالي والبحث العلمي  
جامعة ديالى - كلية العلوم



## تحضير و دراسة خصائص أغشية متراكبة فيريمغناطيسية / فيروكهربائية

رسالة مقدمة إلى

مجلس كلية العلوم - جامعة ديالى

وهي جزء من متطلبات نيل درجة ماجستير في علوم الفيزياء

تقدم بها

عمر عبد الوهاب احمد

( بكالوريوس علوم فيزياء / جامعة ديالى 2006 )

بإشراف

أ.م.د صباح محمد علي

أ.د تحسين حسين مبارك

2017 ميلادية

1438 هجرية

بِسْمِ اللَّهِ الرَّحْمَنِ الرَّحِيمِ



سورة يوسف

الآية (76)

## إقرار المشرف

أقر بأن اعداد رسالة الماجستير الموسومة ( تحضير ودراسة خصائص أغشية متراكبة فيريمغناطيسية / فيروكهربائية ) للطالب ( عمر عبد الوهاب احمد) قد جرى تحت اشرافي في قسم الفيزياء/ كلية العلوم\_جامعة ديالى/ لنيل درجة الماجستير في علوم الفيزياء.

المشرف



التوقيع

الاسم: أ.د. تحسين حسين مبارك

المرتبة العلمية: استاذ

العنوان: كلية العلوم - جامعة ديالى

التاريخ: ٢٠١٧/٢/٢٠ م

المشرف



التوقيع

الاسم: أ.م.د. صباح محمد علي

المرتبة العلمية: استاذ مساعد

العنوان: كلية التربية - جامعة كركوك

التاريخ: ٢٠١٧/٢/٠٥ م

## توصية رئيس القسم

بناء على التوصيات المتوافرة، أرشح هذه الرسالة للمناقشة

التوقيع: 

الاسم: د. زياد طارق خضير

المرتبة العلمية: استاذ مساعد

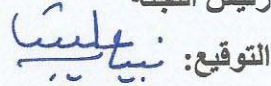
العنوان: / كلية العلوم - جامعة ديالى

التاريخ: ٢٠١٧ / ٢ / ٢٠ م

## اقرار لجنة مناقشة

نحن أعضاء لجنة المناقشة ، نشهد بأننا اطلعنا على الرسالة الموسومة ( تحضير ودراسة خصائص أغشية متراكبة فيريمغناطيسية / فيروكهربائية ) وقد ناقشنا طالب الماجستير ( عمر عبد الوهاب احمد) قسم (الفيزياء) في محتوياتها وفيما له علاقة بها ، ووجدنا انها جديرة بالقبول لنيل درجة الماجستير في علوم (الفيزياء) .

رئيس اللجنة

التوقيع: 

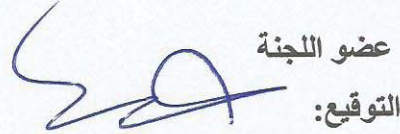
الاسم: ا.د. نبيل علي بكر

المرتبة العلمية: استاذ

العنوان: جامعة ديالى/كلية العلوم

التاريخ: ٦/٤/٢٠١٧ م

عضو اللجنة

التوقيع: 

الاسم: ا.م.د. مخلص وليد مولود

المرتبة العلمية: استاذ مساعد

العنوان: الجامعة التكنولوجية/قسم العلوم التطبيقية

التاريخ: ٨/٤/٢٠١٧ م

عضو اللجنة

التوقيع: 

الاسم: ا.د. نضال نيسان جندو

المرتبة العلمية: استاذ

العنوان: الجامعة المستنصرية/كلية التربية

التاريخ: ١٠/٤/٢٠١٧ م

عضو اللجنة (مشرف)

التوقيع: 

الاسم: ا.م.د. صباح محمد علي

المرتبة العلمية: استاذ مساعد

العنوان: كلية التربية/جامعة كركوك

التاريخ: ٨/٤/٢٠١٧ م

عضو اللجنة (مشرف)

التوقيع: 

الاسم: ا.د. تحسين حسين مبارك

المرتبة العلمية: استاذ

العنوان: كلية العلوم/جامعة ديالى

التاريخ: ٦/٤/٢٠١٧ م

مصادقة عمادة كلية العلوم

التوقيع: 

الاسم : ا.د. تحسين حسين مبارك

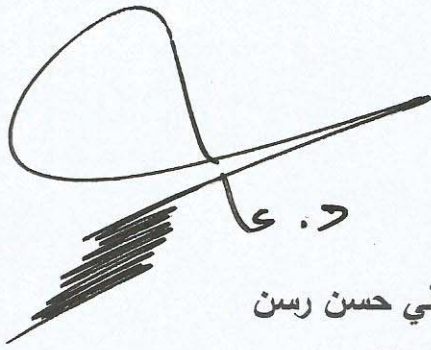
المرتبة العلمية: استاذ

العنوان: كلية العلوم/جامعة ديالى

التاريخ: ٦/٤/٢٠١٧ م

## اقرار المقوم العلمي

أقر بتقويم رسالة الماجستير المعنونة (تحضير ودراسة خصائص أغشية متراكبة  
فيريمغناطيسية/فيروكهربائية) للطالب (عمر عبد الوهاب احمد) علميا من قبلي وهي جزء  
من متطلبات نيل درجة الماجستير علوم في الفيزياء .



التوقيع:

الاسم: أ.د.م. علي حسن رسن

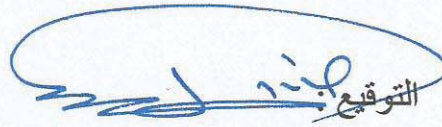
المرتبة العلمية: استاذ مساعد

العنوان: الجامعة المستنصرية/ كلية التربية/ قسم الفيزياء

التاريخ: ١٠/٤/٢٠١٧ م

## أقرار المقوم اللغوي

أقر بتقويم رسالة الماجستير المعنونة (تحضير ودراسة خصائص أغشية متراكبة فيريمغناطيسية / فيروكهربائية) للطالب (عمر عبد الوهاب احمد) لغويا من قبلي وهي جزء من متطلبات نيل درجة الماجستير علوم في الفيزياء.



الاسم : أ.م.د نوافل يونس سالم

المرتبة العلمية : أستاذ مساعد

العنوان: جامعة ديالى / كلية التربية للعلوم الانسانية

/ قسم اللغة العربية

التاريخ: ٥/ ٥/ ٢٠١٧ م

# الإهداء

الى من تميل له كل القلوب \*\*\*  
و ذكره يمحو الذنوب \*\*\*  
و نوره سر الغيوب \*\*\*

الله سبحانه وتعالى

الى من يخلو به الهوى ويطيب \*\*\*  
ومالنا غيره في هذه الدنيا حبيب \*\*\*  
عساني أكون معه في الجنة قريب \*\*\*

محمد (صلى الله عليه وسلم)

الى الذي في هواه أنوب \*\*\*  
فإن كان عشقي له ذنب \*\*\*  
وفيه الموت ما كنت عنه أتوب \*\*\*

وطني الغالي

الى التي قلبي يهواها \*\*\*  
و لا يمل لساني عن ذكراها \*\*\*  
لو نظرت اليها ضحكت شفتاها \*\*\*  
لو زعلت تضم الحزن في عينيها \*\*\*

أمي الغالية

إلى من وقفت بجانبى ووفرت لي الدعم والاهتمام \*\*\*  
إلى من يشد على يدي لأخطو بثبات \*\*\*

خالتي الحاجة سميرة

الى كافة الأهل والأصدقاء \*\*\*

الباحث

## شكر وتقدير

بسم الله الرحمن الرحيم

الصلاة والسلام على أشرف الخلق أجمعين رسولنا الاعظم محمد صلى الله عليه وعلى آله وصحبه الابرار ومن تبعهم بأحسان إلى يوم الدين .

وأنا أطوي الصفحات الأخيرة من هذا البحث يسعدني ويشرفني أن أقدم جزيل شكري وإمثاني إلى الأساتذتين الفاضلتين المشرفين كل من الدكتور حسين حسين مبارك والدكتور صباح محمد علي لأقتراحهما موضوع البحث والتوجيهات السديدة والأقترحات القيمة والمساعدات الجليلة التي أبدوها لي خلال فترة إجراء الدراسة .

أود أن أعبر عن امثاني وشكري إلى عمادة كلية العلوم ممثلة بالعميد الاسناذ الدكتور حسين حسين مبارك ورعايته للبحث العلمي و أساتذة قسم الفيزياء و اخص بالدكتور منهر الدكتور زياد طارق خضير رئيس قسم الفيزياء و الدكتور نبيل علي بكس و الدكتور صباح انور سلمان و الدكتورة بثينة عبد المنعم و الاسناذ اسعد احمد كامل لرعايتهم ودعمهم المستمر في سبيل إنجاز هذا البحث ، ولا يفوتني أن أعبر عن مدى عنفاني بالجميل لما أبدوه عوناً لي متمنيا لهم دوام الموفقية .

ويسعدني أن أقدم خالص شكري وتقديري إلى منسبي مكتبة الدراسات العليا في كلية العلوم / جامعة ديالى لتقدير يد المساعدة والعون .

وأقدم بالشكر إلى زملائي جميعاً وأخص منهم طلبة الدراسات العليا في قسم الفيزياء وأخيراً أود أن أشكر عائلتي وأهلي جميعاً لمساعدتهم ومساندتهم الكبيرة طوال فترة البحث وأخص منهم بالدكتور خالتي هناء وزوجها السيد عثمان عبد العزيز ياسين الشيباني وإلى الجميع من خصني بالدعاء سائلاً الله عز وجل أن يوفهم لما فيه خير الدنيا والآخرة .

الباحث

## الخلاصة

تم في هذا البحث تحضير فرايت الكوبالت النانوي بطريقة السول – جل الاحتراق التلقائي باستخدام نترات الحديد ( $(\text{Fe}(\text{NO}_3)_3 \cdot 9(\text{H}_2\text{O}))$ ) ونترات الكوبالت ( $(\text{Co}(\text{NO}_3)_2 \cdot 6(\text{H}_2\text{O}))$ ) و حامض الستريك ( $(\text{C}_6\text{H}_8\text{O}_7 \cdot \text{H}_2\text{O})$ ) كوقود للحصول على مسحوق فرايتي ذو دقائق نانوية، كما جرى تحضير تيتانات الباريوم باستعمال الطريقة السيراميكية التقليدية باستخدام كربونات الباريوم ( $(\text{BaCO}_3)$ ) و اوكسيد التيتانيوم ( $(\text{TiO}_2)$ ) .

جرى في هذا البحث فحص العينتين بواسطة حيود الاشعة السينية لمعرفة الخواص التركيبية لمسحوق فرايت الكوبالت و تيتانات الباريوم و اكدت النتائج تشكل الطور المغزلي لفرايت الكوبالت و طور الفيروكهربائي لتيتانات الباريوم ، حيث تم قياس الحجم البلوري و ثابت الشبيكة و الكثافة النظرية و المساحة السطحية للحبيبات النانوية للمساحيق المحضرة و اظهرت النتائج ان الحجم البلوري باستعمال معادلة شرر لمسحوق فرايت الكوبالت حوالي ( $45.14\text{nm}$ ) بينما لمسحوق تيتانات الباريوم ( $37.69\text{nm}$ ) . و من خلال تحليل (AFM) كان الحجم الحبيبي لفرايت الكوبالت هو ( $102.82\text{nm}$ ) و لتيتانات الباريوم هو ( $78.90\text{nm}$ ) . و اظهر فحص الاشعة تحت الحمراء (FTIR) ايضا تشكل الطورين و نوع الشوائب الموجود في كل منهما .

وقد تم تحضير ثلاث أنواع من الأغشية المترابطة بخلط نسب وزنية من مسحوق فرايت الكوبالت هي ( $1,2,3,4,5,6,7,8,9,10\text{wt}$ ) مع المادة البوليميرية بولي فينيل الكحول (PVA) للمجموعة الاولى من النماذج ، و نفس النسب السابقة من مسحوق تيتانات الباريوم مع نفس المادة البوليميرية (PVA) للمجموعة الثانية من النماذج ، و من كلا المادتين معا بحيث يصل ما اضيف من كلا المادتين الى ( $10\text{wt}\%$ ) مع كمية من بوليمر بولي فينيل الكحول (PVA) للمجموعة الاخيرة من النماذج ، و استخدمت طريقة الصب في تحضير الاغشية المترابطة .

و اجري فحص المجهر الضوئي لعينات الاغشية المترابطة الذي اظهر انتشار المواد المدعمة (سيراميك) في المادة الاساس (بوليمر) و تجانس الاغشية المترابطة.

و تم دراسة الخواص الكهربائية للأغشية المترابطة ضمن مدى الترددات (50Hz- 3MHz) عند درجة حرارة الغرفة وشملت ثابت العزل و معامل فقد العزلي و التوصيلية المتناوبة و اظهرت النتائج تناقص ثابت العزل و معامل فقد مع زيادة تردد المجال المسلط بينما ازدادت التوصيلية المتناوبة مع زيادة التردد ، وازداد كل من ثابت العزل و معامل فقد العزلي و التوصيلية بزيادة كمية الحشو في الاغشية المترابطة التي تحتوي على الحشو فرايت الكوبالت او تيتانات الباريوم بينما في الاغشية المترابطة التي تحتوي على فرايت الكوبالت و تيتانات الباريوم في اساس البوليمر وجد ان ثابت العزل يزداد مع زيادة كمية تيتانات الباريوم اما معامل فقد العزلي و التوصيلية كلاهما يزداد مع زيادة تركيز فرايت الكوبالت .

و قد تم دراسة الخواص الكهربائية للأغشية المترابطة عند تردد ثابت وفي الدرجات الحرارية  $^{\circ}\text{C}$  (25،45،65،85،105،125،145،165) وشملت التوصيلية المستمرة و طاقة التنشيط ، و اظهرت النتائج زيادة التوصيلية المستمرة مع ارتفاع درجة الحرارة في جميع الاغشية المترابطة اما طاقة التنشيط ازدادت مع زيادة تركيز الحشوفرايت الكوبالت في اساس البوليمر في الاغشية المترابطة ونفس السلوك عند اضافة تيتانات الباريوم الى البوليمر بينما في الاغشية المترابطة من فرايت الكوبالت وتيتانات الباريوم في اساس البوليمر كانت طاقة التنشيط تتناقص مع زيادة كمية فرايت الكوبالت .

# المحتويات

الصفحة	الفصل الأول: (مقدمة عامة)	التسلسل
1	المقدمة	1-1
3	بولي فينيل الكحول (PVA)	2-1
3	فرايت الكوبالت ( $\text{CoFe}_2\text{O}_4$ )	3-1
3	تيتانات الباريوم ( $\text{BaTiO}_3$ )	4-1
4	الدراسات السابقة	5-1
9	هدف الدراسة	6-1
	<b>الفصل الثاني: (الجزء النظري )</b>	
11	المقدمة	1-2
11	أصل المغناطيسية	2-2
12	المتأثرية المغناطيسية	3-2
12	تصنيف المواد المغناطيسية	4-2
14	المواد الفيرومغناطيسية	5-2
16	فرايتات العقيق	(1-5-2)
16	الفرايتات السداسية	(2-5-2)
16	الفرايتات المغزلية	(3-5-2)
19	تصنيف الفرايتات وفق خواصها المغناطيسية	(4-5-2)
19	الفرايتات الصلبة	(1-4-5-2)
19	الفرايتات اللينة	(2-4-5-2)
20	الخواص الكهربائية للفرايت المغزلي	(5-5-2)
21	آلية التوصيل بالتنط	(1-5-5-2)
22	العوازل الكهربائية	(6-2)
23	خواص المواد العازلة	(1-6-2)
23	المقاومية	(1-1-6-2)
24	الاستقطاب	(2-1-6-2)

29	تصنيف المواد العازلة	(2-6-2)
29	المواد الدائمة الاستقطاب	(1-2-6-2)
29	المواد العازلة الخطية	(2-2-6-2)
29	المواد العازلة اللاخطية	(2-2-6-2)
32	تقنيات القياس المستعملة لدراسة الخصائص التركيبية	(7-2)
32	تقنية حيود الأشعة السينية	(1-7-2)
32	نظرية حيود الأشعة السينية	(1-1-7-2)
34	المعلومات التركيبية	(2-7-2)
34	ثابت الشبكة	(1-2-7-2)
34	معدل الحجم البلوري	(2-2-7-2)
36	الكثافة النظرية	(3-2-7-2)
36	المساحة السطحية النوعية للجسيمات النانوية	(4-2-7-2)
37	البوليمرات	(8-2)
37	أنواع البوليمرات	(1-8-2)
38	قطبية البوليمرات	(2-8-2)
38	البوليمرات اللاقطبية	(1-2-8-2)
39	البوليمرات القطبية	(2-2-8-2)
40	التوصيل الكهربائي للبوليمرات	(3-8-2)
42	آلية التوصيل الكهربائي في البوليمرات	(1-3-8-2)
42	تأثير التوصيل بالنفق	(1-1-3-8-2)
42	آلية التوصيل بالتنطط	(2-1-3-8-2)
43	المتراكبات	(9-2)
43	تصنيف المكونات الأساسية الداخلة في تكوين المواد المتراكبة	(1-9-2)
44	تصنيف المواد المتراكبة	(2-9-2)
44	المتراكبات البوليميرية	(1-2-9-2)
44	السطح البيني في المتراكبات	(3-9-2)
45	الخواص الكهربائية للأغشية المتراكبة	(10-2)

45	السعة ، ثابت العزل والفقدان العزلي	(1-10-2)
50	التوصيلية الكهربائية	(2-10-2)
51	التوصيلية الكهربائية المتناوبة	(1-2-10-2)
52	التوصيلية الكهربائية المستمرة	(2-2-10-2)
52	طاقة التنشيط	(3-2-10-2)
<b>الفصل الثالث (الجزء العملي)</b>		
54	المقدمة	(1-3)
54	المواد الأولية	(2-3)
54	المواد الأولية لتحضير فرايت الكوبالت ( $\text{CoFe}_2\text{O}_4$ )	(1-2-3)
56	المواد الأولية لتحضير تيتانات الباريوم ( $\text{BaTiO}_3$ )	(2-2-3)
56	الاجهزة المستعملة	(3-3)
59	تحضير فرايت الكوبالت ( $\text{CoFe}_2\text{O}_4$ )	(4-3)
61	تحضير تيتانات الباريوم ( $\text{BaTiO}_3$ )	(5-3)
64	تحضير الأغشية المترابطة	(6-3)
66	الفحوصات التركيبية	(7-3)
66	قياسات حيود الأشعة السينية	(1-7-3)
67	قياسات مجهر القوة الذرية	(2-7-3)
68	قياسات طيف الأشعة تحت الحمراء	(3-7-2)
69	قياسات المجهر الضوئي	(8-3)
69	قياسات الخصائص الكهربائية	(9-3)
70	مقياس الحرارة الرقمي	(10-3)
<b>الفصل الرابع (النتائج و المناقشة)</b>		
72	المقدمة	(1-4)
72	نتائج القياسات التركيبية لفرايت الكوبالت و تيتانات الباريوم	(2-4)
72	نتائج القياسات التركيبية لفرايت الكوبالت	(1-2-4)
73	نتائج فحوصات حيود الأشعة السينية (XRD)	(1-1-2-4)
74	حساب الحجم البلوري لعينة فرايت الكوبالت	(1-1-1-2-4)

75	الكثافة النظرية لعينة فرايت الكوبالت	(2-1-1-2-4)
75	حساب المساحة السطحية للجسيمات النانوية لعينة فرايت الكوبالت	(3-1-1-2-4)
76	نتائج فحوصات مجهر القوة الذرية (AFM)	(2-1-2-4)
77	نتائج فحوصات الأشعة تحت الحمراء (FTIR)	(3-1-2-4)
78	الخصائص التركيبية لتيتانات الباريوم ( $BaTiO_3$ )	(2-2-4)
79	نتائج فحوصات حيود الأشعة السينية (XRD)	(1-2-2-4)
80	حساب الحجم البلوري لعينة تيتانات الباريوم	(1-1-2-2-4)
81	الكثافة النظرية لعينة تيتانات الباريوم	(2-1-2-2-4)
81	حساب المساحة السطحية للجسيمات النانوية لعينة تيتانات الباريوم	(3-1-2-2-4)
81	نتائج فحوصات مجهر القوة الذرية (AFM)	(2-2-2-4)
83	نتائج فحوصات الأشعة تحت الحمراء (FTIR)	(3-2-2-4)
84	نتائج فحوصات الأغشية المترابطة	(3-4)
84	نتائج قياسات المجهر الضوئي	(1-3-4)
91	القياسات الكهربائية	(2-3-4)
91	القياسات الكهربائية للأغشية المترابطة من فرايت الكوبالت مع بولي فينيل الكحول	(1-2-3-4)
104	القياسات الكهربائية للأغشية المترابطة من تيتانات الباريوم مع بولي فينيل الكحول	(2-2-3-4)
117	القياسات الكهربائية للأغشية المترابطة من فرايت الكوبالت و تيتانات الباريوم مع بولي فينيل الكحول	(3-2-3-4)
131	الاستنتاجات	(5-4)
132	المشاريع المستقبلية	(6-4)
133	المصادر	

## قائمة الجداول

الصفحة	العنوان	رقم الجدول
17	انصاف اقطار الايونات الموجبة	(1-2)
24	انواع المواد حسب مقاومتها الحجمية	(2-2)
54	المواد الأولية لتحضير فرايت الكوبالت	(1-3)
56	المواد الأولية لتحضير تيتانات الباريوم	(2-3)
60	كميات المواد المتفاعلة لتحضير فرايت الكوبالت	(3-3)
62	كميات المواد المتفاعلة لتحضير تيتانات الباريوم	(4-3)
65	نسب الخلط في الغشاء المتركب من فرايت الكوبالت و بولي فينيل الكحول	(5-3)
65	نسب الخلط في الغشاء المتركب من تيتانات الباريوم و بولي فينيل الكحول	(6-3)
66	نسب الخلط في الغشاء المتركب من فرايت الكوبالت و تيتانات الباريوم مع بولي فينيل الكحول	(7-3)
93	تغير قيمة ثابت العزل ( $\epsilon_r'$ ) مع كمية الاضافة من فرايت الكوبالت في الاغشية المترابطة عند الترددات (3MHz,2MHz,1MHz)	(1-4)

95	تغير قيمة معامل الفقد العزلي ( $\epsilon''_r$ ) مع نسب الاضافة من فرايت الكوبالت في الاغشية المترابكة عند الترددات (3MHz,2MHz,1MHz)	(2-4)
98	تغير التوصيلية المتناوبة ( $\sigma_{a.c}$ ) مع نسب فرايت الكوبالت في الاغشية المترابكة عند الترددات (3MHz,2MHz,1MHz)	(3-4)
101	قيمة طاقات التنشيط ( $E_a$ ) مع تغير كمية الاضافة من فرايت الكوبالت في الأغشية المترابكة من فرايت الكوبالت وبولي فينيل الكحول عند درجات الحرارة °C (165,145,125,105,85,65,45,25)	(4-4)
106	قيمة ثابت العزل ( $\epsilon'_r$ ) مع تغير كمية الاضافة من تيتانات الباريوم في الاغشية المترابكة عند الترددات (3MHz,2MHz,1MHz)	(5-4)
108	قيمة معامل الفقد العزلي ( $\epsilon''_r$ ) مع تغير كمية الاضافة من تيتانات الباريوم في الاغشية المترابكة عند الترددات (3MHz,2MHz,1MHz)	(6-4)
111	قيمة التوصيلية المتناوبة ( $\sigma_{a.c}$ ) مع تغير كمية الاضافة من تيتانات الباريوم في الاغشية المترابكة عند الترددات (3MHz,2MHz,1MHz)	(7-4)
114	قيمة طاقات التنشيط ( $E_a$ ) مع تغير كمية الاضافة من تيتانات الباريوم في الأغشية المترابكة من تيتانات الباريوم وبولي فينيل الكحول عند درجات الحرارة °C (165,145,125,105,85,65,45,25)	(8-4)
118	قيمة ثابت العزل ( $\epsilon'_r$ ) مع تغير كمية الاضافة من فرايت الكوبالت و تيتانات الباريوم في الاغشية المترابكة عند الترددات (3MHz,2MHz,1MHz)	(9-4)
121	قيمة معامل الفقد العزلي ( $\epsilon''_r$ ) مع تغير كمية الاضافة من فرايت الكوبالت و تيتانات الباريوم في الاغشية المترابكة عند الترددات (3MHz,2MHz,1MHz)	(10-4)
123	قيمة التوصيلية المتناوبة ( $\sigma_{a.c}$ ) مع تغير كمية الاضافة من فرايت الكوبالت و تيتانات الباريوم في الاغشية المترابكة عند الترددات (3MHz,2MHz,1MHz)	(11-4)
127	قيمة طاقات التنشيط ( $E_a$ ) مع تغير كمية الاضافة لفرايت الكوبالت للأغشية المترابكة من فرايت الكوبالت و تيتانات الباريوم مع بولي فينيل الكحول عند درجات الحرارة °C (165,145,125,105,85,65,45,25)	(12-4)

## قائمة الاشكال

رقم الشكل	العنوان	الصفحة
(1-2)	نموذج لحركة الالكترون حول النواة	12
(2-2)	تركيب الفرايت المغزلي ومواقع المجاميع (A-site) ومواقع المجاميع (B-site) ، ومواقع الأوكسجين	18
(3-2)	اصطفااف ثنائيات الاقطاب في العازل تحت تأثير مجال خارجي	26
(4-2)	مخطط يمثل آليات مختلفة للاستقطاب	28
(5-2)	اعتماد آليات الاستقطاب على التردد	28
(6-2)	تركيب تيتانات الباريوم	32
(7-2)	حيود الاشعة السينية	33
(8-2)	حساب الحجم البلوري بطريقة (W-H)	36
(9-2)	موجة التيار وفرق الجهد المسلط على مقاومة	47
(10-2)	موجة التيار تتقدم الفولتية المسلطة على متسعة بفرق طور $\frac{\pi}{2}$	47
(11-2)	الرسم الطوري للتيار والفولتية في متسعة	48
(12-2)	مديات التوصيلية الكهربائية في المواد العازلة وشبه الموصله والموصله	51

55	مخطط يوضح طرق التحضير و الاجهزة المستخدمة والفحوصات في البحث الحالي	(1-3)
61	مخطط تحضير فرايت الكوبالت بالطريقة سول – جل الاحتراق التلقائي	(2-3)
63	مخطط تحضير نيتانات الباريوم بالطريقة السيراميكية التقليدية	(3-3)
65	قوالب الصب للأغشية المترابكة	(4-3)
67	صورة جهاز XRD	(5-3)
68	مجهر القوة الذرية	(6-3)
68	صورة جهاز طيف الاشعة تحت الحمراء	(7-3)
69	صورة المجهر الضوئي	(8-3)
70	جهاز (LCR Meter) المستخدم	(9-3)
71	مقياس الحرارة الرقمي	(10-3)
73	مخطط حيود الاشعة السينية للعينة ( $\text{CoFe}_2\text{O}_4$ )	(1-4)
74	بطاقة (ICDD) لمادة فرايت الكوبالت ( $\text{CoFe}_2\text{O}_4$ ) المرقمة (22-1086)	(2-4)
75	حساب الحجم البلوري والانفعال المجهري من معادلة وليامسون- هول للعينة ( $\text{CoFe}_2\text{O}_4$ )	(3-4)
76	المخطط الحجم البلوري وتوزيعها حسب النسبة الحجمية لفرايت الكوبالت	(4-4)
77	صور (AFM) لمسحوق فرايت الكوبالت ( $\text{CoFe}_2\text{O}_4$ )	(5-4)

78	طيف الأشعة تحت الحمراء لعينة فرايت الكوبالت	(6-4)
79	مخطط حيود الأشعة السينية للعينة ( $BaTiO_3$ )	(7-4)
80	بطاقة (ICDD) لمادة تيتانات الباريوم ( $BaTiO_3$ ) المرقمة (0626-05)	(8-4)
81	حساب الحجم البلوري والانفعال المجهري من معادلة وليامسون - هول لعينة تيتانات الباريوم	(9-4)
82	وضوح المخطط الحجم البلوري وتوزيعها حسب النسبة الحجمية لمسحوق تيتانات الباريوم	(10-4)
82	صور (AFM) لمسحوق تيتانات الباريوم	(11-4)
83	طيف الأشعة تحت الحمراء لعينة تيتانات الباريوم	(12-4)
85	صور المجهر الضوئي للأغشية المترابكة لفرايت الكوبالت مع بولي فينيل الكحول	(13-4)
87	صور المجهر الضوئي للأغشية المترابكة لتيتانات الباريوم مع بولي فينيل الكحول	(14-4)
89	صور المجهر الضوئي للأغشية المترابكة لفرايت الكوبالت و تيتانات الباريوم مع بولي فينيل الكحول	(15-4)
93	تغير ثابت العزل مع التردد للأغشية مترابكة من فرايت الكوبالت و بولي فينيل الكحول	(16-4)
94	تغير ثابت العزل مع نسبة الاضافة من فرايت الكوبالت للأغشية المترابكة عند ترددات (3MHz, 2 MHz , 1MHz)	(17-4)
96	تغير معامل فقد العزل مع التردد للأغشية مترابكة لفرايت الكوبالت و بولي فينيل الكحول	(18-4)
96	تغير معامل فقد العزل مع نسبة الاضافة من فرايت الكوبالت للأغشية المترابكة عند ترددات (3MHz , 2MHz , 1MHz)	(19-4)
98	تغير التوصيلية المتناوبة مع التردد للأغشية مترابكة لفرايت الكوبالت و بولي فينيل الكحول	(20-4)

99	تغير التوصيلية المتناوبة مع كمية الاضافة من فرايت الكوبالت في الاغشية المترابكة عند الترددات (1MHz, 3MHz, 2MHz)	(21-4)
100	تغير التوصيلية المستمرة مع درجة الحرارة للأغشية المترابك من فرايت الكوبالت و بولي فينيل الكحول	(22-4)
103	طاقات التنشيط للأغشية المترابكة من فرايت الكوبالت وبولي فينيل الكحول عند درجات الحرارة °C (165, 145, 125, 105, 85, 65, 45, 25)	(23-4)
104	تغير طاقة التنشيط مع كمية الإضافة من فرايت الكوبالت للغشاء المترابك عند الدرجات الحرارة °C (165, 145, 125, 105, 85, 65, 45, 25)	(24-4)
106	تغير ثابت العزل مع التردد للأغشية مترابكة لتيتانات الباريوم و بولي فينيل الكحول	(25-4)
107	تغير ثابت العزل مع نسبة الاضافة من تيتانات الباريوم في الغشاء المترابك عند ترددات ( 3MHz , 2MHz , 1MHz)	(26-4)
109	تغير معامل الفقد العزلي مع التردد للأغشية مترابكة لتيتانات الباريوم و بولي فينيل الكحول.	(27-4)
109	تغير معامل الفقد العزلي مع نسبة الاضافة من تيتانات الباريوم في الاغشية مترابكة عند ترددات ( 3MHz , 2MHz , 1MHz)	(28-4)
111	تغير التوصيلية المتناوبة مع التردد للأغشية مترابكة لتيتانات الباريوم و بولي فينيل الكحول	(29-4)
112	تغير التوصيلية المتناوبة مع نسبة الاضافة من تيتانات الباريوم للأغشية المترابكة عند ترددات ( 3MHz , 2MHz , 1MHz)	(30-4)
113	تغير التوصيلية المستمرة مع درجة الحرارة للأغشية المترابكة من تيتانات الباريوم و بولي فينيل الكحول .	(31-4)
115	طاقات التنشيط للأغشية المترابكة من تيتانات الباريوم مع بولي فينيل الكحول عند درجات الحرارة °C (165, 145, 125, 105, 85, 65, 45, 25)	(32-4)
117	تغير طاقة التنشيط مع نسب الإضافة من تيتانات الباريوم للأغشية المترابكة عند الدرجات الحرارة °C (165, 145, 125, 105, 85, 65, 45, 25)	(33-4)
119	تغير ثابت العزل مع التردد للأغشية مترابكة لفرايت الكوبالت و تيتانات الباريوم مع بولي فينيل الكحول	(34-4)

119	تغير ثابت العزل مع نسبة الاضافة من فرايت الكوبالت للأغشية المترابكة من فرايت الكوبالت وتيتانات الباريوم مع بولي فينيل الكحول عند ترددات ( 3MHz , 2MHz , 1MHz )	(35-4)
121	تغير معامل الفقد العزلي مع التردد للأغشية مترابكة لفرايت الكوبالت و تيتانات الباريوم مع بولي فينيل الكحول	(36-4)
122	تغير معامل الفقد العزلي مع نسبة الاضافة من فرايت الكوبالت للأغشية المترابكة من فرايت الكوبالت وتيتانات الباريوم مع بولي فينيل الكحول عند ترددات ( 3MHz , 2MHz , 1MHz )	(37-4)
124	تغير التوصيلية المتناوبة مع التردد للأغشية المترابكة لفرايت الكوبالت وتيتانات الباريوم مع بولي فينيل الكحول	(38-4)
124	تغير التوصيلية المتناوبة مع نسبة الاضافة من فرايت الكوبالت للأغشية المترابكة من فرايت الكوبالت و تيتانات الباريوم مع بولي فينيل الكحول عند ترددات ( 3MHz , 2MHz , 1MHz )	(39-4)
126	تغير التوصيلية المستمرة مع درجة الحرارة للأغشية المترابكة من فرايت الكوبالت و تيتانات الباريوم مع بولي فينيل الكحول	(40-4)
128	طاقات التنشيط للأغشية المترابكة من فرايت الكوبالت و تيتانات الباريوم وبولي فينيل الكحول عند درجات الحرارةه (165،145،125،105،85،65،45،25) °C	(41-4)
130	تغير طاقة التنشيط مع نسب الأضافة من فرايت الكوبالت للأغشية المترابكة من فرايت الكوبالت وتيتانات الباريوم مع بولي فينيل الكحول عند الدرجات الحرارية (165،145،125،105،85،65،45،25) °C	(42-4)

## قائمة المصطلحات

الرمز	اسم المصطلح
$\lambda$	الطول الموجي للأشعة السينية ( Å )
$\theta$	زاوية سقوط الأشعة السينية (degree)
$d_{hkl}$	المسافة البينية للمستويات (hkl) ( Å )
$a$	ثابت الشبكة ( Å )
(hkl)	معاملات ميلر
$\rho$	الكثافة ( g/cm <sup>3</sup> )
$\mu$	الكتلة المولية ( g/mole )
$V$	حجم وحدة الخلية ( Å <sup>3</sup> )
$\epsilon$	الانفعال (Strain)
$\beta$	أقصى عرض عند منتصف الشدة (rad)
$K$	ثابت مقداره يتراوح بين (0.9-0.94)
$D$	حجم الجسيمات (nm) <sup>3</sup>
S.A	المساحة السطحية (m <sup>2</sup> /g)
$H$	شدة المجال المغناطيسي (A·m <sup>-1</sup> )
$\rho_{x-ray}$	الكثافة المحسوبة من طيف حيود الأشعة السينية ( g/cm <sup>3</sup> )
$P$	الاستقطاب الكهربائي (c/m <sup>2</sup> )
$C_0$	سعة المتسعة في الفراغ (Farad)
$C$	سعة المتسعة بوجود العازل (Farad)
$\epsilon_0$	السماحية الفراغ (8.85 × 10 <sup>-12</sup> F/m)
$\epsilon_r$	السماحية النسبية
$\epsilon_r'$	ثابت العزل
$\epsilon_r''$	عامل الفقد في العازل
$\sigma_{a.c}$	التوصيلية المتناوبة (Ω.cm) <sup>-1</sup>

الرمز	اسم المصطلح
H	شدة المجال المغناطيسي (A/m)
M	العزم المغناطيسي (A/m <sup>2</sup> )
$\chi$	المتأثرية المغناطيسية (Web/A.m)
$\mu$	النفاذية المغناطيسية (Web/A.m)
E	شدة المجال الكهربائي (V/cm)
N	عدد ثنائيات الاقطاب لوحدة الحجم
q	الشحنة الكهربائية (c)
d	المسافة (mm)
D	الازاحة الكهربائية (c/m <sup>2</sup> )
T	درجة الحرارة المطلقة (K)
T <sub>c</sub>	درجة حرارة كوري (K)
T <sub>N</sub>	درجة حرارة نيل (K)
n	رتبة الحيود بقانون براك
Z	عدد الذرات لوحدة الخلية
N <sub>a</sub>	عدد افوكادرو (6.023*10 <sup>23</sup> atom/mol)
$\rho$	المقاومية العازل ( $\Omega$ )
A	مساحة المقطع العرضي (mm <sup>2</sup> )
L	سمك العازل (mm)
R	مقاومة العازل ( $\Omega$ )
K <sub>B</sub>	ثابت بولتزمان (1.381*10 <sup>-23</sup> J/K)
$\sigma_{d.c}$	التوصيلية المستمره ( $\Omega.cm$ ) <sup>-1</sup>
E <sub>a</sub>	طاقة التنشيط (eV)
w	التردد الزاوي (Hz)
$\delta$	زاوية الطور (degree)
I <sub>R</sub>	التيار المار خلال المقاومة (A)
I <sub>C</sub>	التيار المار خلال المتسعة (A)
F	التردد (Hz)

**Introduction (1-1) المقدمة**

سعى العالم نتيجة للتطور الصناعي الذي شهده في كافة المجالات، إلى إيجاد بدائل للمواد ذات الاستخدامات الصناعية المتعددة بحيث تكون تلك البدائل ذات مواصفات هندسية عالية لا يمكن توافرها في أية مادة طبيعية أخرى ، وذلك لاستخدامها في التطبيقات الصناعية المتعددة كالتائرات والرادارات والسفن والسيارات وغيرها.

ومن خلال دراسة خواص المواد الهندسية (المعادن، السيراميك، البوليمرات)، لاحظ اختصاصيو علم المواد وجود تباين في خواص تلك المواد من حيث المقاومة ، والمتانة ، والصلادة واللدونة وتحمل القوى الخارجية ودرجات الحرارة، وهذه المواصفات قد تكون مناسبة في تطبيق معين وغير مناسبة في تطبيق آخر [1]. وان علم المواد المتراكبة (Composite Materials) يعد من العلوم التي مازال الانسان يبحث فيها ويطورها . ولقد أظهرت استخدامات المواد المتراكبة من البوليمرات الراتنجية المدعمة في منتصف الثلاثينيات من القرن الماضي ومع بدايات الحرب العالمية الثانية عندما أُستخدم البولي أستر المقوى بألياف الزجاج والكاربون في صناعة أبدان الطائرات وقياب الرادارات في الطائرات، كما دخلت المواد المتراكبة كذلك في صناعات المباني والعمارات والصناعات البحرية وكذلك في الصناعات الكيميائية والطبية [2,3].

ونظرا لامتلاك المواد المتراكبة بعض الخواص التي تتناسب مع العديد من التطبيقات الصناعية المهمة لذلك فأنها نالت مكانة مرموقة بين المواد الهندسية المختلفة، إذ أن المواد المتراكبة تجمع بين خواص مادتين أو أكثر متجاوزة مساوي كل مادة و لاسيما انها تمتلك إمكانية التحكم بخواصها سواء عن طريق نوع ونسب المواد المكونة لها أو من خلال تصميمها وطرائق تصنيعها ، لذلك تبلور محور تركيز المصممين والمهندسين في الوقت الحاضر على الدور الفعال للمواد الهندسية التي دخلت في مختلف المجالات الصناعية، لذا تم اختيارها وتصنيعها بعمليات متعددة ومتعاقبة وفقا لتراكيب تصميمية وإنشائية تتلاءم مع الأداء الوظيفي فضلا عن تحليل فشلها في ذلك الأداء [4,5] . واستجابة لمتطلبات التطور والنهضة الصناعية والتي تبغى السير باتجاه تحسين أداء المنتج من ناحية التصميم والتصنيع، ففي الهندسة الإنشائية هناك مساح لتشكل تراكيب ذات قوة ومتانة وموثوقية من حيث جمالياتها ومقاومتها للتآكل، أما في المجالات الكهربائية فنجد ان هنالك رغبة بإنتاج دوائر متكاملة فمثلا" تكون مفاتيح الحاسوب لحظية التفاعل وعازلة جيدة للكهربائية وتحمل فولتية عالية، أما في مجال صناعة السيارات فقد تم استعمال مواد ذات وزن خفيف ومتانة

عالية (durable materials) ولاسيما ان المجالات الفضائية تتطلب مواد ذات وزن خفيف وأداء جيد لكي تقاوم الظروف الجوية (درجة الحرارة مثلاً) للفضاء الخارجي [5] .

البوليمرات هي مواد خاملة وخفيفة الوزن وعموماً تمتلك درجة عالية من المطيلية، وهي تمتاز بانخفاض التوصيلية الكهربائية والحرارية فهي تستعمل كعوازل كهربائية وحرارية، وعند مقارنتها مع المعادن فإنها تكون ذات كثافة واطئة واستطالة كبيرة عندما يكون هنالك تغير في درجات الحرارة، وتمتلك جساءه واطئة ومقاومة عالية للتآكل وهي لاتعد من المواد الصلدة [6] . أما المواد السيراميكية فهي مواد لا عضوية وغير معدنية [5]، مثل الاكاسيد و الكاربيدات و النتريدات وغيرها، اذ تميل المواد السيراميكية إلى أن تكون ذات توصيلية كهربائية وحرارية رديئة أي أنها مواد عازلة وتتصف بالهشاشة الناتجة عن انخفاض المطيلية وبالتالي انخفاض مقاومتها للصدمات، إلا أنها تمتلك صلادة وقوة انضغاط وحمولا كيميائياً، وعليه لا يستعمل السيراميك في التطبيقات الواقعة تحت تأثير الأحمال الصدمية مقارنة بالمعادن، مع ذلك فإنها ذات مقاومة لدرجات الحرارة العالية [5,7] .

وتعد المواد المترابكة ذات الأساس البوليمري من أقدم المواد المترابكة [4]. تتكون المواد المترابكة من الطور الأول الذي يعرف بالمادة الأساس (Matrix) وتكون من مادة مطيلية ذات متانة عالية مثل البوليمرات، أما الطور الثاني فيسمى بطور التقوية (Reinforcement) والذي قد يكون على شكل (ألياف ، أو دقائق ، أو قشور) من مواد صلبة مثل (بوليمرات، سيراميك، معادن) [7] .

في هذا البحث مترابكات تحتوي على نوعين من السيراميك من طور الفيرومغناطيسي ذو الخصائص المغناطيسية و طور الفيروكهربائي ذو العزل العالي كمواد تقوية تضاف الى البوليمر ذو العزل العالي و المرونة العالية ، بالتالي الحصول على اغشية مترابكة تمتاز بالعزل العالي و المرونة و الشفافية و سهولة المعالجة ، اذ ان هذه المترابكات مرشحة كنوع جديد من المكتفات لما لها من مزايا من جانبي التصميم الدقيق والتشكيل [8]، ويضاف الى ذلك اهمية الاقتران ما بين الطور الفيرومغناطيسي و طور الفيروكهربائي في الكثير من التطبيقات الممكنة في الاجهزة المتعددة مثل اجهزة الاستشعار و محولات الطاقة و الذواكر و الالكترونيات الدورانية [9] .

وستتناول بعض الخصائص للمواد المستخدمة في هذه الدراسة لتحضير الاغشية المترابكة و التي تشمل بوليمر بولي فينيل الكحول (PVA) ومسحوق الطور الفيرومغناطيسي فرايت الكوبالت ( $\text{CoFe}_2\text{O}_4$ ) و مسحوق الطور الفيروكهربائي تيتانات الباريوم ( $\text{BaTiO}_3$ ) .

### (2-1) بولي فينيل الكحول (PVA)

بوليمر صناعي قابل للذوبان في الماء عديم الرائحة ، يصنع من خلات الفينيل الاحادية (vinyl acetate monomer) بواسطة اخضاعها بالبلمره و التحلل الجزئي .وعن طريق اذابة في الماء والسماح للماء بالتبخر يتكون غشاء شفاف بلدانة عالية ومقاومة للتمزق . وان ذوبانية البوليمر تعتمد على درجة التحلل الجزئي وقابلية الاصرة الهيدروجينية ، ويزوب في الماء الحار فقط ، ويمتلك ميزة التصاق عالية و كثافته تتراوح من ( $1.19-1.31\text{g/cm}^3$ ) . وان الكميات الكبيرة من بولي فينيل الكحول تكون خطيرة و خصوصا اذا مزجت مع الماء ، ويكون غير سام طالما غير محروق او ذائب بالنار. ومن مزايا هذا البوليمر المقاومة الميكانيكية العالية وقابلية الذوبان بالماء [10].

### (3-1) فرايت الكوبالت ( $\text{CoFe}_2\text{O}_4$ )

مادة مغناطيسية تنتمي الى عائلة التركيب المغزلي و التي جاءت تسميتها من المعدن المغزلي ( $\text{MgAl}_2\text{O}_4$ ) ذو التركيب العام ( $\text{AB}_2\text{O}_4$ ) . وان فرايت الكوبالت له تركيب مكعب مع ايونات الاوكسجين يشكل شبكية متمركزة الأوجه (FCC) ، و ان الكيتونات (غالبا الفلزات) تشغل ( $1/8$ ) من شبكية رباعي السطوح و ( $1/2$ ) من شبكية ثماني السطوح . ويحتوي التركيب على (32) من ايونات الاوكسجين و (24) من الكيتونات ليصبح العدد الكلي (56) من الذرات . ان درجة حرارة كيوري لفرايت الكوبالت حوالي ( $500^\circ\text{C}$ ) و ادنى من هذه الدرجة يمتلك خواص فيرومغناطيسية . وفرايت الكوبالت يمتلك معامل تشبع مغناطيسي وايضا ثابت عزل كهربائي عال .

### (4-1) تيتانات الباريوم ( $\text{BaTiO}_3$ )

وهي مادة سيراميكية فيروكهربائية عازلة ، مع خصائص بيزو كهربائية . تستعمل تيتانات الباريوم كسيراميك عازل في صناعة المكثفات ، اما مادة بيزو كهربائية تستخدم في الميكروفونات و محولات الطاقة . ان هذه المادة تمتلك استقطاب عفوي عند درجة حرارة الغرفة ، وان درجة

حرارة كوري لتيتانات الباريوم حوالي ( $120^{\circ}\text{C}$ ) وادنى من هذه الدرجة تكون ذات خصائص فيروكهربائية [11].

### (5-1) الدراسات السابقة

حضر الباحث (R.Popielarz) عام (2001) مع مجموعته البحثية ثلاثة انواع من المتراكبات اذ خلط تيتانات الباريوم ( $\text{BaTiO}_3$ ) مع البولييمرات (TMPTA) ، (PEGDA) ، (TDDMA) وقاموا بقياس سماحية العزل في مدى الترددات ( $100\text{Hz}-10\text{GHz}$ ) و في مدى درجات حرارة ( $^{\circ}\text{C}$  ) ( $+150$ ) - ( $-140$ ) ووجدوا خصائص العزل لتيتانات الباريوم نفسها في المتراكبات وبفعالية تعتمد على نوع البوليمر، وكما لاحظوا ان البوليمرات القطبية تزيد من ثابت العزل في الترددات الواطئة اذ تمتلك تأثير قليل في ترددات جيجاهيرتز ، و لاسيما انهم بينوا ان اعلى قيمة لخسائر العزل في متوسط مدى الترددات من الميغاهيرتز الى الجيجاهيرتز ، اذ ان خسائر العزل تزداد مع زيادة محتوى البوليمر القطبي ، ووجدوا في التردد الثابت و تغير درجة الحرارة ان المتراكبات تظهر علاقة خطية بين لو غارتم ثابت العزل والنسبة الحجمية لحشو الفيروكهربائي [12] .

وقد درس الباحث (H.Hsiang) و مجموعته البحثية عام (2001) تأثير الحجم الحبيبي لتيتانات الباريوم ( $\text{BaTiO}_3$ ) على الخواص العزلية في متراكبات ( $\text{BaTiO}_3/\text{Polyvinylidene fluoride(PVDF)}$ ) . واستنتجوا عندما يكون تردد المجال المسلط اقل من ( $100\text{KHz}$ ) فان ثابت العزل و خسائر العزل لمتراكبات ( $\text{BaTiO}_3/\text{PVDF}$ ) تتناقص مع زيادة الحجم الحبيبي ، بينما في التردد الاعلى من ( $100\text{KHz}$ ) تتكون النتائج عكسية. اذ لاحظ الباحثون زيادة المقاومة مع زيادة الحجم الحبيبي لتيتانات الباريوم [13].

وقد قام الباحث (R.P.Mahajan) و مجموعته البحثية في عام (2002) بتحضير متركبات من فرايت الكوبالت ( $\text{CoFe}_2\text{O}_4$ ) وتيتانات الباريوم ( $\text{BaTiO}_3$ ) باستعمال العمليات السيراميكية التقليدية مزدوجة الكلسنه مع تفاوت نسب المكونات في المتراكبات ، اذ ان تقنية حيود الاشعة السينية اكدت وجود الطورين في المتراكب. ودرسوا المقاومة ( $\text{Dc}$ ) كدالة لدرجة الحرارة ضمن المدى ( $300\text{k}-600\text{k}$ ) اذ تفاوت ثابت العزل مع التردد ضمن ( $100\text{Hz} - 1\text{MHz}$ ) و مع درجة الحرارة عند تردد ثابت ( $1\text{KHz}$ ) . وناقشوا التوصيلية المستمرة على اساس نموذج تنطط البولارون الصغير [14].

وحضر الباحث (S.H. Xie) و مجموعته البحثية في عام (2005) متراكبات من تيتانات الباريوم ( $BaTiO_3$ ) وبولي انلين (PANI) وتم دراسة خصائص المتراكبات المحضرة باستعمال تقنيات الاشعة تحت الحمراء (FTIR) و حيود الاشعة السينية (XRD) و المجهر الماسح الالكتروني (SEM) ، (TGA) ، و تبين ان ثابت العزل وخسائر العزل في المتراكبات تزداد مع زيادة النسبة الحجمية لتيتانات الباريوم ، وان حبيبات تيتانات الباريوم ذات الحجم الحبيبي (100nm) تكون منتشرة بشكل متجانس في مصفوفة البوليمر وبدون تكتل [15] .

وفي عام (2007) قام الباحث (L.A.Garc) و مجموعته البحثية بتحضير متراكبات نانوية من فرايت الكوبالت ( $CoFe_2O_4$ ) المحضر بطريقة الترسيب و بولي فينيل الكحول (PVA) ، واستخدم في تحضير الاغشية المتراكبة طريقة الصب الثابت . ودرسوا الخصائص باستعمال (XRD) ، (IR) ، (VSM) وتبين تشكل طور مغناطيسي احادي من نوع الفيرومغناطيسي [16].

درس الباحثان (A.Pelaiz,R.Lopez) في عام (2007) سلوك استرخاء العازل الكهربائي و التوصيل الكهربائي في متراكب  $(Pb_{0.88}Sm_{0.08})(Ti_{0.99}Mn_{0.01})O_3/$  (Polyetherketonone) وكانت بنسبة خلط الحجمية من متراكب سيراميك فيروكهربائي / بوليمر (50/50) . اذ ناقش الباحثان المساهمة من عمليات التوصيل في استرخاء العازل الترددات الواطنة اخذين بنظر الاعتبار شحنات الفراغ ، و في الترددات العالية استرخاء العازل فسر على اساس تركيز الاوكسجين في طور السيراميك ويعزى الى تحول ( $Mn^{4+}$ ) الى ( $Mn^{2+}$ ) التي تأخذ مواقع اثناء عمليات الكلسنة في المادة السيراميكية . وقد استنتجوا ان قيم طاقات التنشيط تشير الى مشاركة حركة حاملات الشحنة في عمليات استرخاء العازل [17].

وقام الباحث (A.S.Merza) و مجموعته البحثية في عام (2008) بتحضير مادة تيتانات الباريوم ( $BaTiO_3$ ) بواسطة الخلط المتوازن لمركبي ثنائي اوكسيد التيتانيوم ( $TiO_2$ ) و كاربونات الباريوم ( $BaCO_3$ ) بنسبة مولية (1:1) . واستخدموا تقنية حيود الاشعة السينية لمعرفة الطور مادة تيتانات الباريوم ولتحديد نقاوة المسحوق الناتج بعد الكلسنة الاولى ، وقام الباحثون بالتلييد بعدة درجات حرارية ( $1100^{\circ}C, 1200^{\circ}C, 1300^{\circ}C$ ) ووجدوا ان افضل درجة حرارة لتلييد ( $1300^{\circ}C$ ) اذ اعطت اكبر كثافة ( $5.36g/cm^3$ ) واكبر انكماش خطي (18%) وادنى مسامية (6%) [18].

وقد حضر الباحث (Y.Kobayashi) و مجموعته البحثية في عام (2008) اغشية رقيقة عالية العزل من ( $BaTiO_3/Polymer$ ) ، اذ شنت تيتانات الباريوم ذات الحجم البلوري (10.5 – 34.6nm) والمحضرة بطريقة الكوكسيد المعقدة في بوليمر (PVDF) وبوليمر (SPAI) . ووجدوا ان تشتت حبيبات تيتانات الباريوم اكثر تجانس في اغشية بوليمر (PVDF) من اغشية بوليمر (SPAI) والتشتت الجيد للحبيبات في اغشية (PVDF) هو سبب في نعومة السطح التي تمتلك جذر معدل مربع خشونة اقل من (20nm) عند النسبة الحجمية (30vol%) من تيتانات الباريوم . وقد لوحظ ان خشونة السطح لأغشية بوليمر (PVDF) المترابطة تكون اقل من (1-10) من خشونة اغشية بوليمر (SPAI) المترابطة. اذ وجد ان ثابت العزل في الاغشية المترابطة ( $BaTiO_3/PVDF$ ) اعلى بمرتين من ثابت العزل في الاغشية المترابطة ( $BaTiO_3/SPAI$ ) ، وعامل الفقد العزلي في الاغشية ( $BaTiO_3/PVDF$ ) كان اقل [19].

وقام الباحث (Y.Kobayashi) و مجموعته البحثية في عام (2009) بتحضير اغشية مترابطة من تيتانات الباريوم ( $BaTiO_3$ ) وبوليمر (PMMA) تمتلك ثابت عزل عالي وشفافية عالية ، وكانت حبيبات تيتانات الباريوم (BT) المحضرة بطريقة الاكاسيد المعقدة ذات حجم حبيبي يتراوح (7.8 -24 mn) وحجم بلوري (8.60-17.7nm) . و استنتجوا ان زيادة الحجم الحبيبي و النسبة الحجمية لتيتانات الباريوم ( $BaTiO_3$ ) في الغشاء المترابك تقود الى زيادة ثابت العزل بينما يحافظ عامل الخسارة عند (5%) كما وجدوا ثابت العزل لغشاء المحضر بالنسبة الحجمية (39vol%) من تيتانات الباريوم ذات الحجم الحبيبي (23nm) اعلى بأربع مرات لغشاء (PMMA) النقي [20].

وفي عام (2011) قام الباحث (E.E.Tanriverdi) و مجموعته البحثية بدراسة الخواص التركيبية و الكهربائية للمترابكات النانوية من بولي انلين (PANI) و فرايت الكوبالت ( $CoFe_2O_4$ ) المحضر بطريقة الهدرجة الحرارية، و حضرت المترابكات النانوية بالنسب الوزنية من فرايت الكوبالت و البولي انلين (2:1 و 1:2) وتم فحص خواص المترابكات بتقنية (XRD) ، (FTIR) ، (SEM) ، (TEM) . اذ ان نتائج (FT-IR) اكدت وجود فرايت الكوبالت و البولي انلين في العينات. و وجدوا ان البولي انلين يمتلك الية توصيل اكثر فعالية في المترابكات ، وان هذه النتائج تكون متناسقة ايضا مع التخير في التوصيلية المتناوبة في المترابكات [21].

وقد حضر الباحث (G.D.Prasanna) و مجموعته البحثية في عام (2011) المترابكات النانوية (Polyaniline/ZnFe<sub>2</sub>O<sub>4</sub>) باستعمال طريقة بسيطة وغير مكلفه طريقة البلمرة الموضعية ، ودرسوا الخواص التركيبية و تضاريس السطح و الكهربائية باستعمال تقنيات (WAXD) ، (FTIR) ، (SEM) ، (TGA) وقد وجد من خلال طيف الاشعة تحت الحمراء ان هنالك بعض التفاعل بين الحبيبات النانوية من (ZnFe<sub>2</sub>O<sub>4</sub>) و بولي انلين (PANI) . اما التوصيلية المستمرة المقاسة ضمن مدى درجات الحرارة (80-300K) تتناقص من (515 Scm<sup>-1</sup>) الى (0.92 Scm<sup>-1</sup>) مع زيادة محتوى التشويب من فرايت الخارصين (ZnFe<sub>2</sub>O<sub>4</sub>) ، وقد لوحظ ان المقاومة تعتمد على درجة الحرارة و تتبع السلوك ( $\rho(T) \sim T^{-1/2}$ ) [22].

وفي عام (2011) قام الباحث (Y.C.Li) و مجموعته البحثية بدراسة خواص العزل للمترابكات النانوية الثنائية من بولي فينيل الفلورايد و تينانات الباريوم (PVDF/ BaTiO<sub>3</sub>) و المترابكات النانوية الثلاثية (PVDF/ BaTiO<sub>3</sub>/GN) بعد اضافة الكرافيت النانوي (GN) ، وتم تحضير جميع المترابكات بطريقة صب المحلول البسيطة ويكون متبوعا بكبس قولبة . ووجدوا ان الجزء الحقيقي من ثابت العزل في المترابكات النانوية (PVDF/ BaTiO<sub>3</sub>) و يزداد مع زيادة محتوى تينانات الباريوم ، و من خلال دراسة سلوك العزل استنتجوا ان اضافة الكرافيت النانوي الى المترابك (PVDF/ BaTiO<sub>3</sub>) والحصول على المترابك الثلاثي (PVDF/ BaTiO<sub>3</sub>/GN) قد حسن من سماحية العزل ولاسيما انهم وجدوا ان كل من ثابت العزل و التوصيلية الكهربائية معتمدة على التردد و درجة الحرارة [23].

وقد حضر الباحث (R.Beura) في عام (2012) مترابك من بولي فينيل الكحول (PVA) مع مسحوق السيراميك الفيروكهربائي (BaZr<sub>0.1</sub>Ti<sub>0.9</sub>O<sub>3</sub>) والمحضر بطريقة تفاعل الحالة الصلبة اذ اكدت تقنية حيود الاشعة السينية تشكل طور احادي مكعب لهذا المسحوق. وقد استخدمت تقنية (SEM) لبيان تجانس توزيع حبيبات (BZT). ودرس الباحث خواص العزل و الممانعة الكهربائية للمترابكات في مدى واسع من درجات الحرارة (50-150°C) و التردد (10<sup>2</sup>- 10<sup>6</sup> Hz) وتبين ان هذه الخواص معتمدة الى حد كبير على درجة الحرارة والتردد [24].

وحضر الباحث (I.M.Abdulmajeed) و مجموعته البحثية في عام (2012) مركب سيراميك (BaTiO<sub>3</sub>) باستخدام خليط متجانس للأكاسيد المكونة ، و استخدموا التقنية التقليدية في تحضير السيراميك ، و شخصوا المركب باستخدام تقنية (XRD) وقد وجدوا ان المسحوق السيراميك المحضر رباعي التركيب . و بالإضافة لذلك حضر الباحثون نظام مترابك لليوكسي-

سيراميك ، و اضافوا تيتانات الباريوم بنسب وزنية (10,20,30,40,50,60wt%) ، و درسوا ثابت العزل و كدالة للتردد ما بين (2KHz – 5MHz) و معامل الفقد لنفس التردد و بالإضافة الى نسبة المكونات . و وجدوا ان النسبة المئوية لمتراكبات الأيوكسي / تيتانات الباريوم تؤثر على خواص العازل ، و عند الترددات الواطئة يكون ثابت العزل اعلى في المتراكبات و يزداد ايضا بإضافة تيتانات الباريوم و في كلتا الحالتين يعزى الى السماحية العالية لطور الفيروكهربائي [25].

و قام الباحث (V.Senthil) و مجموعته البحثية في عام (2012) بدراسة العزل الكهربائي و التوصيلية (AC) لمتراكبات من بولي فينيل الكحول (PVA) و (25vol%) من سيراميك تيتانات زركونيوم الباريوم المعدلة بالايتريوم (BYZT) ( $Ba_{1-x}Y_{2x/3}Zr_{0.1}Ti_{0.9}O_3$ ) المحضر بطريقة الحالة الصلبة التقليدية . و استنتج الباحثون ان الية الاسترخاء في العزل تعزى الى حركة الجزئي في سلاسل البوليمر و توجيه ثنائي القطب من السيراميك في متراكب البوليمر . و لاحظوا ايضا تناقص طاقة التنشيط مع ارتفاع الايتريوم في السيراميك المعدل (BYZT) [26].

و قام الباحث (A.Hunyek) في عام (2013) و مجموعته البحثية بتوليف مسحوق فرايت الكوبالت ( $CoFe_2O_4$ ) المحضر بطريقة (sol-gel) في كل من المطاط الطبيعي (NR) و بولي يوريثان (PU) بنسب مختلفة من فرايت الكوبالت تتراوح ما بين (0-45phr) ، و قد لاحظ الباحثون ان السماحية الكهربائية في متراكبات ( $CoFe_2O_4$ -UP) اكبر من السماحية عند متراكبات ( $CoFe_2O_4$ -NR) و السماحية في كلا النوعين من المتراكبات تتفاوت خطيا مع الفرايت عند التردد (100MHz) [27].

و قد حضر الباحثان (K.Praveena,S.Srinath) في عام (2014) متراكبات نانوية من فرايت الكوبالت الذي حضر بطريقة الترسيب التكاملي (Co-Precipitation) مع البولي انلين (PANI) بنسب حجمية مختلفة و درست الخصائص من خلال تقنية (XRD) ، (TEM) و وجد ان الحجم الحبيبي لفرايت الكوبالت ( $CoFe_2O_4$ ) يكون (20nm) و تم حساب التوصيلية المركبة ( $\epsilon_r''$ ,  $\epsilon_r'$ ) ضمن مدى التردد (1MHz-1.1GHz) و تبين ان قيمة ثابت العزل ( $\epsilon_r'$ ) تزداد مع المحتوى الحجمي للفرايت [28].

و درس الباحثان (Manjusha,K.L.Yadav) في عام (2014) الخواص التركيبية و العزلية لغشاء المتراكب ( $0.3CoFe_2O_4-0.7BaTiO_3-PVDF$ ) مع تراكيز مختلفة من بوليمر (PVDF) (polyvinylidene fluoride) بالنسب الوزنية (20, 30, 40 wt%) ، و حضر كل من

فرايت الكوبالت ( $\text{CoFe}_2\text{O}_4$ ) وتيتانات الباريوم ( $\text{BaTiO}_3$ ) باستخدام طريقة تفاعل الحالة الصلبة ، و اجرى الباحثان التحليل التركيبي باستعمال تقنية (XRD) والتي تشير الى تشكل طور الفرايت المغزلي ( $\text{CoFe}_2\text{O}_4$ ) و طور الفيروكهربائي ( $\text{BaTiO}_3$ ) ، وباستخدام تقنية (AFM) وجد ان معدل الحجم الحبيبي لأغشية المترابكة (106nm,30nm,26nm) لنسب الاضافة (20, 30, 40 wt%) من بوليمر (PVDF) ، و لاحظوا ان ثابت العزل و خسائر العزل و التوصيلية تتفاوت مع درجة الحرارة عند الترددات (1 kHz, 50 kHz, 100 kHz) وكذلك يتناقص ثابت العزل والخسائر و التوصيلية مع زيادة تركيز البوليمر [29].

واما الباحثان (M.Khairy,M.E.Gouda) في عام (2015) فقد حضرا المترابكات النانوية (Polyaniline-NiFe<sub>2</sub>O<sub>4</sub>) باختلاف محتوى فرايت النيكل (2.5,5,50wt%) و استعملوا طريقة بلمرة الاكسدة الكيميائية الموضعية . بينما حضرت الحبيبات النانوية من فرايت النيكل باستخدام طريقة سول-جل . وتم دراسة خصائص العينات المحضرة باستعمال تقنيات (FTIR) ، (XRD) ، (SEM) ، (TGA) و استنتجا ان البولي انلين النقي و المترابكات ذات المحتوى (2.5,5wt%) من فرايت النيكل تكون عشوائية التركيب ، بينما ذات المحتوى (50wt%) تظهر التركيب البلوري المغزلي . و اظهر فحص الاشعة تحت الحمراء تشكل بعض التفاعلات بين جزئ البوليمر و فرايت النيكل . وكما وجد ان التوصيلية الكهربائية للمترابكات تزداد بارتفاع محتوى الفرايت [30] .

واستخدم الباحث (D.SeokKim) في عام (2016) و مجموعته البحثية طريقة التجميد النموذجية في تحضير مترابك من تيتانات الباريوم و راتنجيات الايبوكسي ( $\text{BaTiO}_3/\text{epoxy resin}$ ) ، و درسوا تأثير انتظام حبيبة الحشو و نسبة الحشو على سماحية العزل و خسائر العزل في المترابكات ، و قد اظهرت النتائج ان انتظام حبيبات الحشو يستطيع بشكل كبير تحسين سماحية العزل بينما تبقى الخسائر بالمقارنة مع تركيب المترابك التقليدي [31].

## (6-1) هدف الدراسة

تهدف الدراسة الحالية الى :-

1. تحضير ثلاث انواع من الاغشية المترابكة تتضمن الاساس بولي فينيل الكحول مع كل من فرايت الكوبالت و تيتانات الباريوم و كلاهما معا بنسب و زنية مختلفة من الحشو في كل نوع من الاغشية المترابكة .

2. دراسة تأثير التردد على الخواص الكهربائية المتناوبة والتي شملت ثابت العزل و معامل الفقد العزلي و التوصيلية المتناوبة للأغشية المترابكة .
3. دراسة تأثير تركيز الحشو في الاغشية المترابكة على الخواص الكهربائية المتناوبة على كل من ثابت العزل ومعامل الفقد العزلي و التوصيلية المتناوبة .
4. دراسة تأثير درجة الحرارة على الخواص الكهربائية المستمرة وتشمل التوصيلية المستمرة و طاقة التنشيط للأغشية المترابكة .
5. دراسة تأثير التركيز على طاقة التنشيط للأغشية المترابكة .